

# 軸方向にヒンジで結合された鋼管パイル基礎の 固有振動解析について

北海道大学 正員 能町純雄  
室蘭工業大学 正員 松岡健一  
苫小牧高専〇正員 沢田知之

## 1. まえがき

本論文は、鋼管を円形に配置した鋼管パイル構造を想定して、固有振動解析を行なったものである。鋼管は、隣同志、軸方向にヒンジ結合されており、質量は、深さ $x$ の方向の線分布集中質量が相隣る鋼管の接合点に存在するものとして、力のつり合い方程式を作った。鋼管パイルは、基底で固定、地表で自由とし、土の $K$ -値を考えて、振動方程式を求めた。各次振動について、2個の基本的固有値が表われる。

## 2. 理論式の説明

図-1に示す一般図のうちの任意のパイル $r$ ,  $r+1$ を取り上げて図-2に示す。これにより垂直方向、水平方向の曲げ、および振りに関する $\theta_r'$ ,  $\theta_{r+1}'$ ,  $P'$ を考え、また $P''$ で表わされる水平方向の変位 $U$ を考慮することにより次の4式が導かれる。

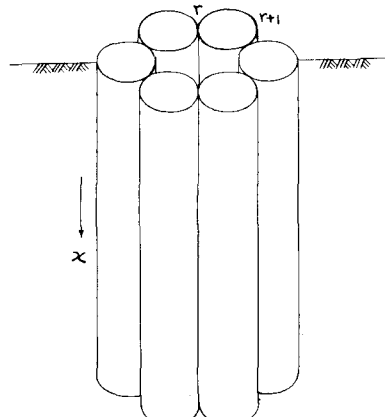


図-1

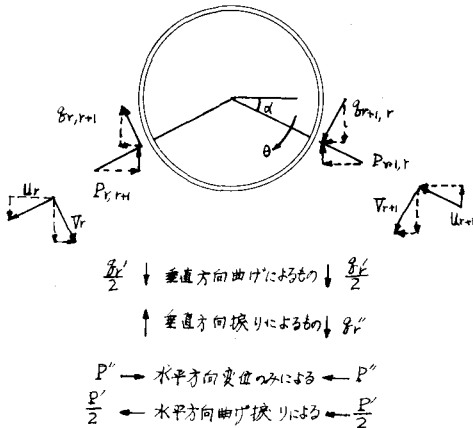


図-2

$$EI \left[ \frac{\frac{\nabla}{V_{r+1}}(x) + \frac{\nabla}{V_r}(x)}{2} \cdot \cos\theta - \frac{\{U_{r+1}(x) - U_r(x)\}}{2} \cdot \sin\theta \right] = \theta_r' + \left[ \frac{\frac{\nabla}{V_{r+1}}(x) + \frac{\nabla}{V_r}(x)}{2} \cdot \cos\theta - \frac{\{U_{r+1}(x) - U_r(x)\}}{2} \cdot \sin\theta \right] \times K \quad (1)$$

$$EI \left[ \frac{\{V_r(x) - V_{r+1}(x)\}}{2} \cdot \sin\theta - \frac{\{U_{r+1}(x) + U_r(x)\}}{2} \cdot \cos\theta \right] = P' - \left[ \frac{\{V_{r+1}(x) - V_r(x)\}}{2} \cdot \sin\theta - \frac{\{U_{r+1}(x) + U_r(x)\}}{2} \cdot \cos\theta \right] \times K \quad (2)$$

$$-GJ \cdot \left[ \frac{\{\ddot{V}_{r+1}(x) - \ddot{V}_r(x)\}}{2a} \right] = \theta_r'' \cdot 2a \cdot \cos\alpha + P' a \sin\alpha \quad (3)$$

$$\{U_{r+1}(x) - U_r(x)\} \cdot \cos\alpha + \{V_{r+1}(x) + V_r(x)\} \cdot \sin\alpha = \varepsilon \quad (4)$$

ここで、

$V_r(x)$ : 半径方向の変位

$U_r(x)$ : 接線方向の変位

$a$ : 鋼管の半径

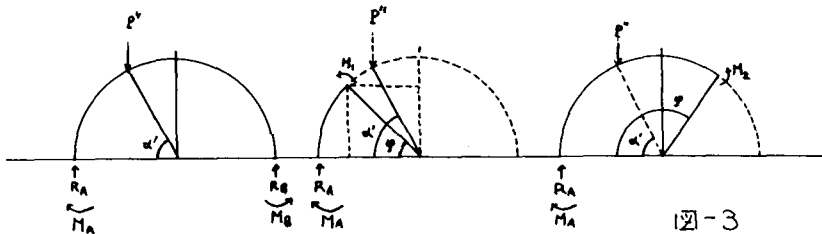
$EI$ : 鋼管の曲げ剛性

$EI'$ : 鋼管/厚さ方向の曲げ剛性  $k$ : 地盤反力係数

$GJ$ : 鋼管の振り剛性

$\varepsilon$ : 鋼管の水平方向変形量  $K = 2ak$

又(4)式の変形量とは、鋼管を図-3の如く円形アーチとして解いて求めよ。



上図より

$\varepsilon = 2 \times \frac{dE}{dp''}$  で表わされる。Eはひずみエネルギーであり、 $E = \int_0^{\alpha'} \frac{1}{2EI} M_1^2 ds + \int_{\alpha'}^{\pi} \frac{1}{2EI} M_2^2 ds$  である。又、 $M_1 = M_A + R_A \cdot a (1 - \cos\phi)$ ,  $M_2 = M_A + R_A \cdot a (1 - \cos\phi) - P'' a (\cos\alpha' - \cos\phi)$

$M_A$ ,  $R_A$  はパイルの荷重点における反力モーメント及び反力を表す。 $\alpha' = \frac{\pi}{2} - \alpha$

また、次の如くの関係がある。

$$\theta_{r+1,r} \cos\alpha - P_{r+1,r} \sin\alpha = \frac{\theta_r'}{2} + \theta_r'' \quad (5) \quad \theta_{r+1,r} \sin\alpha + P_{r+1,r} \cos\alpha = P'' + \frac{P'}{2} \quad (6)$$

$$-\theta_{r,r+1} \cos\alpha - P_{r,r+1} \sin\alpha = \frac{\theta_r'}{2} - \theta_r'' \quad (7) \quad \theta_{r,r+1} \sin\alpha - P_{r,r+1} \cos\alpha = -P'' + \frac{P'}{2} \quad (8)$$

$$\text{節点条件としては, } \theta_{r,r+1} = \theta_{r+1,r} \quad (9) \quad P_{r,r+1} = P_{r+1,r} \quad (10)$$

故に、(5)～(8)より  $P_{r+1,r}$ ,  $P_{r,r+1}$  および  $\theta_{r+1,r}$ ,  $\theta_{r,r+1}$  をもとめ (1)～(4)から  $\theta_r'$ ,  $\theta_r''$ ,  $P''$ ,  $P'$  を代入することにより、(9), (10)はすべて変位  $U$ ,  $V$  によって表わされる2本の式となる。ここで、 $U_r(x) = \sum_i U_i(x) \sin \frac{2\pi i}{n} x$ ,  $\dot{V}_{r+1}(x) = \sum_i \dot{V}_i(x) \cos \frac{2\pi i}{n} (r+1) x$  等と置き、加法定理にて整理し、軸方向にフーリエ変換を行なう。これら2本の式を  $U$ ,  $V$  について、連立して解き、頂部でスペニ方向に一方は自由端 ( $x=0$  端), 他方では固定 ( $x=l$  端) とし、 $\dot{V}_i(0) = \ddot{V}_i(l) = 0$ ,  $V_i(l) = U_i(l) = 0$  を考慮して、整理すると、次の如く示される。

$$\begin{vmatrix} A & B \\ C & D \end{vmatrix} \cdot \begin{vmatrix} \dot{V}_i(x) \\ \dot{U}_i(x) \end{vmatrix} = \begin{vmatrix} a_1 & a_2 & a_3 & a_4 \\ b_1 & b_2 & b_3 & b_4 \end{vmatrix} \cdot \begin{vmatrix} V_i(0) \\ \dot{V}_i(l) \\ U_i(0) \\ \dot{U}_i(l) \end{vmatrix} \quad (11)$$

ここで、 $\dot{V}_i(x) = \int_0^l V_i(x) \sin \frac{m\pi}{l} x dx$   
 $\dot{U}_i(x) = \int_0^l U_i(x) \sin \frac{m\pi}{l} x dx$

$$A = \frac{EI}{4} S_1 \sin \frac{2\pi i}{n} \left( \frac{m\pi}{l} \right) - \frac{GJ}{4a^2} \tan \alpha \cdot \sin \frac{2\pi i}{n} \left( \frac{m\pi}{l} \right)^2 + \left( \frac{K}{4} S_1 - \frac{EI}{AA} \sin \alpha \right) \cdot \sin \frac{2\pi i}{n}$$

$$B = -\frac{EI}{4} (D_{1i} - \sin \alpha D_i) \left( \frac{m\pi}{l} \right)^2 - \left\{ \frac{EI'}{AA} \cos \alpha D_i - \frac{K}{4} (\sin^2 \alpha D_i - D_{1i}) \right\}$$

$$C = -\frac{EI}{4} \cos \alpha \cdot D_{1i} \left( \frac{m\pi}{l} \right)^4 + \frac{GJ}{4a^2} D_i \left( \frac{m\pi}{l} \right)^2 - D_{1i} \left( \frac{K}{4} \cos \alpha + \frac{EI'}{AA} \sin \alpha \right)$$

$$D = \frac{EI}{4} \sin \alpha \cdot \cos \alpha \sin \frac{2\pi i}{n} \left( \frac{m\pi}{l} \right)^4 - \left( \frac{K}{4} + \frac{EI'}{AA} \right) \sin \alpha \cdot \cos \alpha \sin \frac{2\pi i}{n}$$

$$D_1 = -\frac{EI}{4} S_1 \sin \frac{2\pi i}{n} \left( \frac{m\pi}{l} \right)^3 + \frac{GJ}{4a^2} \tan \alpha \sin \frac{2\pi i}{n} \left( \frac{m\pi}{l} \right) \quad D_2 = -\frac{EI}{4} S_1 \sin \frac{2\pi i}{n} (-1)^m \left( \frac{m\pi}{l} \right)$$

$$D_3 = \frac{EI}{4} (D_{1i} - \sin \alpha D_i) \left( \frac{m\pi}{l} \right)^3$$

$$D_4 = \frac{EI}{4} (D_{1i} - \sin \alpha D_i) (-1)^m \left( \frac{m\pi}{l} \right)$$

$$b_1 = \frac{EI}{4} \cos \alpha D_{1i} \left( \frac{m\pi}{l} \right)^3 - \frac{GJ}{4a^2} D_i \left( \frac{m\pi}{l} \right)$$

$$b_2 = \frac{EI}{4} \cos \alpha D_{1i} (-1)^m \left( \frac{m\pi}{l} \right)$$

$$b_3 = -\frac{EI}{4} \sin \alpha \cos \alpha \sin \frac{2\pi i}{n} \left( \frac{m\pi}{l} \right)^3$$

$$b_4 = -\frac{EI}{4} \sin \alpha \cos \alpha \sin \frac{2\pi i}{n} (-1)^m \left( \frac{m\pi}{l} \right)$$

$$S_1 = \tan \alpha \cdot \sin^2 \alpha + 2 \sin \alpha \cdot \cos \alpha \quad D_{1i} = \cos \frac{2\pi i}{n} + 1 \quad D_i = \cos \frac{2\pi i}{n} - 1$$

次に、 $x=0$ における剪断力のつり合い式に慣性抵抗を導入すると

$$\frac{GJ}{4a^2} \cdot \ddot{V}_i(0) \cdot (\cos \frac{2\pi i}{n} - 1) + \frac{EI}{4} \cos \alpha \left\{ \cos(\cos \frac{2\pi i}{n} + 1) \ddot{V}_i(0) - \sin \alpha \sin \frac{2\pi i}{n} \ddot{U}_i(0) \right\} = \frac{\gamma A}{g} \cdot \ddot{V}_{rt}(0) \quad (12)$$

$$\frac{GJ}{4a^2} \tan \alpha \sin \frac{2\pi i}{n} \ddot{V}_i(0) - \frac{EI}{4} \left\{ (\tan \alpha \sin \alpha + 2 \sin \alpha \cos \alpha) \cdot \sin \frac{2\pi i}{n} \ddot{V}_i(0) - \left\{ \cos \frac{2\pi i}{n} (1 + \sin \alpha) + 1 - \sin^2 \alpha \right\} \ddot{U}_i(0) \right\} = \frac{\gamma A}{g} \cdot \ddot{U}_{rt}(0) \quad (13)$$

$\gamma$ : 鋼管の単位体積当り重量

A: 鋼管の断面積

$g: 980 \text{ cm/sec}^2$

ここで正弦振動を仮定すると、

$$\ddot{V}_{rt}(0) = -P^2 V_r(0) \sin pt \quad (14) \quad \ddot{U}_{rt}(0) = -P^2 U_r(0) \sin pt \quad (15)$$

また、 $x=l$ においてたわみ角=0より、

$$\frac{1}{Det} \left\{ A_1 \cdot V_i(l) + A_2 \cdot \ddot{V}_i(l) + A_3 \cdot U_i(l) + A_4 \cdot \ddot{U}_i(l) \right\} = 0 \quad (16)$$

$$\frac{1}{Det} \left\{ b_1 \cdot V_i(l) + b_2 \cdot \ddot{V}_i(l) + b_3 \cdot U_i(l) + b_4 \cdot \ddot{U}_i(l) \right\} = 0 \quad (17)$$

$$Det = A \cdot D - B \cdot C$$

よって (16) (17) 式より  $\ddot{V}_i(l)$ ,  $\ddot{U}_i(l)$  を  $V_i(l)$ ,  $U_i(l)$  で表わし、(14) (15) 式と併せ (12) (13) 式に代入すると、次に示す様に、 $V_i(l)$ ,  $U_i(l)$  のみで表わされる振動方程式を得る。

$$\begin{array}{l} C_1 + C_2 \cdot E_1 + C_3 \cdot D_1 - \frac{\pi A}{g} P^2, \quad C_4 + C_5 \cdot E_2 + C_6 \cdot D_2 \\ C_6 + C_7 \cdot E_1 + C_8 \cdot D_1, \quad C_9 + C_{10} \cdot E_2 + C_{11} \cdot D_2 - \frac{\pi A}{g} P^2 \end{array} \times \begin{array}{l} V_i(\omega) \\ U_i(\omega) \end{array} = 0 \quad (18)$$

$$E_1 = \alpha_4 \cdot b_1 - b_4 \cdot a_1, \quad E_2 = \alpha_4 \cdot b_2 - b_4 \cdot a_2$$

$$D_1 = b_3 \cdot a_1 - a_3 \cdot b_1, \quad D_2 = b_3 \cdot a_2 - a_3 \cdot b_2$$

$C_1 \sim C_{11}$  : (11)式における  $V_i(\omega), U_i(\omega)$  の係数

よって上式の determinant = 0 なる  $P$  が 円振動数を示す。又、その  $P$  に対するモードを知ることができる。

$$P = 9.430 \times 10^3$$

### 3. 数値計算例

今、 $N=6, l=100\text{ cm}, a=2\text{ cm}$

$E=21 \times 10^6 \text{ kg/cm}^2, G=8.1 \times 10^5 \text{ kg/cm}^2$

について、 $x=0$  端で自由、 $x=l$  端で固定のものの、固有値とモードを  $I=1$  について図-4、図-5 に示す。

### 4. あとがき

以上、軸方向にヒンジ結合された円形に配置された鋼管基礎についての固有振動解析と解析例を述べたが、境界条件を変えたものや、実際例についての計算値も当日発表するつもりである。また実験解析も行なって理論の検討をする予定である。

尚、数値計算には、北大大型計算機 FACOM 1-230-60 を用いた。

### 5. 参考文献

- ・能町・松岡・沢田：円形に配置された鋼管パイプの基礎の応力計算（土木学会第26回年次学術講演集）
- ・能町・松岡・沢田：鋼管パイプ基礎の応力解析について（土木学会北海道支部研究発表論文集第28号）
- ・能町・松岡・沢田：軸方向にヒンジ結合された鋼管よりなる基礎の応力解析について（第11回日本道路会議一般論文集）

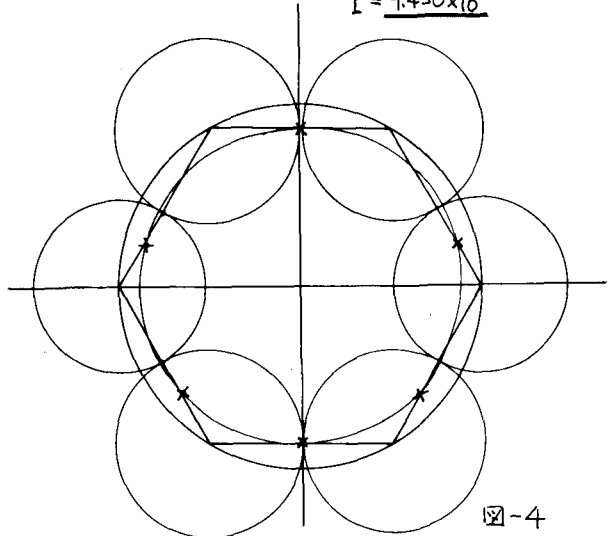


図-4

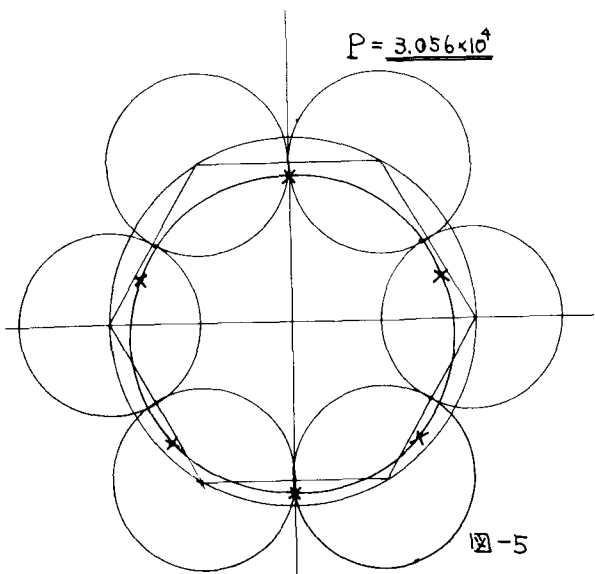


図-5